

Mainshock-aftershock Earthquake
Ground Motion Characteristics and
Structural Damage Analysis

主余震地震动特征及 结构损伤分析

翟长海 谢礼立 温卫平 李爽/著



科学出版社

主余震地震动特征 及结构损伤分析

翟长海 谢礼立 温卫平 李爽 著

科学出版社

北京

内 容 简 介

中国是地震灾害较为严重的国家之一，85%以上的地震均是以主余震序列的情形发生的，主余震地震动特征及结构损伤分析是地震工程的核心内容，对工程结构的抗震设防、减轻地震灾害具有重要意义。本书包括余震地震动参数衰减、主余震作用下 SDOF 结构损伤分析、余震地震动潜在破坏势、主余震地震动的调幅、主余震地震动的损伤谱和主余震作用下 RC 框架结构的易损性分析等方面的内容。

本书可供工程地震和结构抗震专业人员、土木工程技术人员、高等院校及科研院所相关专业教师和学生阅读和参考。

图书在版编目(CIP)数据

主余震地震动特征及结构损伤分析 / 翟长海等著. —北京：科学出版社，
2017.3

ISBN 978-7-03-051766-1

I . ①主… II . ①翟… III . ①地震反应分析②抗震结构—损伤（力学）
—分析 IV . ①P315.63②TU352

中国版本图书馆 CIP 数据核字（2017）第 027040 号

责任编辑：张 震 孟莹莹 / 责任校对：郑金红

责任印制：张 伟 / 封面设计：无极书装

科学出版社出版
北京东黄城根北街 16 号
邮政编码：100717
<http://www.sciencep.com>

北京厚诚则铭印刷科技有限公司 印刷

科学出版社发行 各地新华书店经销

*

2017 年 3 月第一 版 开本：720×1000 1/16
2017 年 3 月第一次印刷 印张：10 1/4

字数：200 000

定价：70.00 元

（如有印装质量问题，我社负责调换）



前　　言

历史地震资料均表明 85%以上的地震是以地震序列的情形出现的，主震发生之后大量余震的作用会显著增大结构的破坏程度，进而增大地震经济损失和加重人员伤亡。主震及其后续余震的相继作用对结构产生明显的累积损伤效应，需要在结构抗震设计中合理地考虑余震对结构的不利影响。然而，目前中国乃至世界上的结构抗震设计规范均是基于单次地震的，忽略了大量余震对结构的附加损伤，导致按照现有规范设计的结构在设计地震作用下仍会发生无法控制的破坏。如何在抗震设计中考虑地震序列的影响是一个复杂庞大的工作，其内容涉及地震危险性分析、地震动参数特征、抗震设计谱及结构损伤分析等。近十余年来，本书著者在主余震地震动特征、抗震设计谱、结构损伤分析方面开展了系统的研究工作。本书内容共分 6 章，具体内容包括以下几个方面：

(1) 余震地震动参数衰减。第 1 章给出余震地震动参数的衰减关系，对余震危险性分析至关重要，同时对揭示主余震地震动参数之间的定量关系也十分重要。该章研究余震地震动参数与主震地震动参数的比值随震级、断层距、场地的变化特性，通过与实际数据对比论证模型的合理性，并研究壳内地震序列与俯冲区域板间地震序列的异同；通过残差分析研究余震地震动参数与主震地震动参数的比值的概率分布，最后与其他的衰减关系进行比较分析。

(2) 主余震作用下 SDOF 结构损伤特征。SDOF 结构既能够反映实际结构主要的振动特性，还具有简单快捷的优点。第 2 章研究主余震地震动对 SDOF 结构不同反应指标的影响规律，考虑余震地震动的不同强度和结构的不同滞回特性，研究余震对不同反应指标均值和离散性的影响。

(3) 余震地震动潜在破坏势研究。地震工程中，地震动对结构的破坏能力即为地震动的潜在破坏势。采用简单的地震动参数来衡量地震动的潜在破坏势对于研究和应用均具有重要意义。第 3 章研究余震地震动参数与余震使结构产生的附加损伤之间的相关性，分析结构自振周期、强度折减系数及滞回模型对相关性的影响，最后通过加权平均相关系数选出能够反映余震地震动在整个周期潜在破坏势的参数。

(4) 主余震地震动的调幅研究。结构的非线性动力反应分析逐渐发展为地震工程中一种主要的研究手段，而非线性动力反应分析中往往会涉及地震动的调幅。

第4章从地震动潜在破坏势的角度出发，研究主余震地震动的调幅系数和调幅指标，分别确定适用于单地震动和主余震地震动的调幅系数和调幅指标。

(5) 主余震地震动的损伤谱。非弹性反应谱可以将地震动特征和结构反应特征有效联合起来。第5章研究主余震地震动的损伤谱及其影响因素，给出损伤谱的预测公式，基于等损伤的理念对中国现有抗震设计谱进行修正，给出考虑余震影响抗震设计谱修正框架及修正系数的公式。

(6) 主余震作用下RC框架结构易损性分析。主余震作用下结构的易损性研究不仅可以评估主震作用后已损伤结构的残余抗震能力，还可以为结构风险性研究和震后决策的制定提供依据。第6章介绍主余震作用下结构易损性特点，定量分析余震对结构破坏概率的影响大小。

本书的主要内容源自于以下科研项目部分研究成果：国家自然科学基金重点项目(编号：51238012)、国家自然科学基金重大研究计划课题(编号：91215301)、国家自然科学优秀青年基金项目“地震工程”(编号：51322801)、国家自然科学基金面上项目(编号：51178152)、国家自然科学基金青年项目(编号：50808168、51308517)、教育部“新世纪优秀人才支持计划”项目(编号：NCET-11-0813)、黑龙江省自然科学基金面上项目(编号：E2015069、E2015070)、哈尔滨工业大学基础研究杰出人才“跃升”培育计划等。

本书是著者及多位研究生多年来研究工作的结晶。感谢博士生籍多发、李翠华、路冰，硕士生武坤芳、侯富涛、李瑜瑜、孙鹏宇等，他们的辛勤劳动使得研究工作逐步深入，是保障本书顺利完成的重要条件之一。著者从事科研工作多年，受到了多位前辈、老师和同行的指导和帮助，在此一并表示感谢。

由于著者水平所限，书中难免存在疏漏和不足之处，衷心希望读者不吝赐教。

著 者

2016年11月

哈尔滨工业大学

目 录

前言

第 1 章 余震地震动参数衰减	1
1.1 引言	1
1.2 地震动数据库	3
1.3 地震动参数及衰减模型	5
1.3.1 地震动参数	5
1.3.2 衰减模型	6
1.4 地震动强度参数	7
1.4.1 回归结果	7
1.4.2 模型及假定合理性论证	11
1.4.3 残差分析	13
1.4.4 与其他模型的比较	16
1.5 地震动持时	17
1.5.1 回归结果	17
1.5.2 模型及假定合理性论证	19
1.5.3 残差分析	21
1.5.4 与其他模型的比较	22
1.6 小结	23
第 2 章 主余震作用下非弹性 SDOF 结构损伤特征	25
2.1 引言	25
2.2 地震动记录	25
2.3 结构模型及反应指标	27
2.4 非弹性 SDOF 结构反应分析	28
2.4.1 延性系数	28
2.4.2 残余位移比	33
2.4.3 标准化滞回耗能	35
2.4.4 损伤指数	41

2.5 小结	48
第3章 余震地震动潜在破坏势研究	49
3.1 引言	49
3.2 地震动参数选取	50
3.2.1 直接由记录本身得到的地震动参数	50
3.2.2 通过结构反应得到的地震动参数	51
3.2.3 本章选取的地震动参数	52
3.3 地震动及结构模型	52
3.4 地震动破坏势研究	54
3.4.1 无退化模型结构	54
3.4.2 退化模型结构	61
3.4.3 基于不同周期段加权的地震动破坏势	68
3.5 小结	69
第4章 主余震地震动的调幅研究	71
4.1 引言	71
4.2 地震动调幅研究方法	72
4.3 单地震动的调幅研究	73
4.3.1 无退化模型结构	73
4.3.2 退化模型结构	79
4.4 余震地震动的调幅研究	85
4.4.1 无退化模型结构	85
4.4.2 退化模型结构	87
4.5 小结	91
第5章 主余震地震动的损伤谱	92
5.1 引言	92
5.2 损伤谱计算方法	93
5.3 损伤谱特性及场地影响	94
5.3.1 平均谱及离散性	94
5.3.2 场地的影响	96
5.4 余震的影响	97
5.5 阻尼的影响	102

5.6 滞回模型的影响.....	104
5.7 损伤模型参数的影响.....	107
5.8 损伤谱预测公式.....	109
5.9 考虑余震影响的抗震设计方法.....	112
5.10 小结	117
第6章 主余震作用下RC框架结构易损性分析.....	119
6.1 引言	119
6.2 框架结构模型及地震动记录	120
6.3 结构损伤指数的计算方法.....	121
6.3.1 构件损伤指数的计算方法	121
6.3.2 整体结构损伤指数的计算方法	126
6.3.3 损伤模型限定值的确定	127
6.4 主余震增量动力分析.....	127
6.5 框架结构的易损性分析	134
6.5.1 易损性分析理论	134
6.5.2 损伤指数分布的验证	135
6.5.3 框架结构的易损性曲线	138
6.6 小结	142
参考文献	143

第1章 余震地震动参数衰减

1.1 引言

历史地震资料表明，强主震以后往往伴随着强余震的发生。例如，1999年9月21日中国台湾发生的集集地震，其主震的矩震级为7.6级，主震发生后的一个星期之内，就发生了5次矩震级在5.8级以上的强烈余震，其中，最强余震的矩震级达6.3级^[1]。中国2008年5月12日汶川8.0级大地震发生后，同样记录了大量的强余震发生，截至2008年5月31日，6.0级以上的余震就多达5次，其中，最强余震震级达6.4级^[2]。2011年3月11日日本发生的东日本大地震，其主震震级为9.0级，主震发生后的40分钟之内就有3次震级超过7.0级的强烈余震发生^[3]。结构在强烈主震作用之后一般都会有不同程度的损伤，余震的作用会使结构产生附加损伤，形成累积损伤效应。许多震后调查结果也证明余震对结构的破坏不容忽视^[4-9]。遗憾的是，中国现有的抗震设计规范乃至世界上绝大多数抗震规范主要考虑单次主震的作用，未对主余震序列对结构的不利影响作出相应规定，人们对结构在主余震地震动作用下的破坏机理还很不清楚，急需科学的理论指导来提高工程结构的抗震性能。

强烈主震发生之后，余震对已损伤结构的附加破坏不容忽视，因此，有必要在结构抗震设计及性态评估中考虑余震的影响。众所周知，结构在地震动作用下的反应特征与地震动本身的特性（幅值、持时、频谱特性等）有着紧密的关系，要想研究清楚结构在主余震地震动作用下的破坏机理，必须先对主余震地震动的参数关系有一个清晰的了解。例如，结构在主震作用下会产生一定的损伤，结构刚度会有一定的降低，结构的自振周期也会随之增大，增大之后的周期可称为已损伤结构的自振周期（或结构的有效自振周期）。若已损伤结构的自振周期更接近于余震地震动的卓越周期，那么余震作用将会更加危险。因此，针对主震地震动参数与余震地震动参数之间的关系给出一个定量的表达，对于研究结构在主余震地震动作用下的破坏机理是非常有意义的。遗憾的是，到目前为止，主震地震动与余震地震动之间的参数关系还没有得到系统的研究。

在地震学领域，研究者们已经对主余震之间的关系进行了广泛的研究。早在

19世纪，日本学者 Omori 即得出了余震发生的频率随着时间逐渐衰减的规律，即著名的 Omori 定律^[10]。此外，还有描述余震震级与频度之间关系的 Gutenberg-Richter（古登堡-克里特）定律^[11]，以及主余震之间震级之差的 Bath（巴特）定律^[12]。以上即地震学领域著名的三大定律。随着地震数据的积累以及人们对于地震原理认识的加深，有大量的研究者们对以上三大定律进行了研究及修正^[13-18]。然而，在地震工程领域，对于主余震地震动参数之间关系的研究起步则较晚，而且研究结果也较少。

Das 和 Gupta^[19]采用集集地震中记录到的大量主余震地震动，研究了余震地震动谱速度与主震地震动谱速度的比值随震级、距离和场地的变化趋势，给出了余震地震动的条件预测公式。Ruiz-García^[20]从13次地震中选取了184条主余震地震动，统计分析了余震地震动卓越周期与主震地震的关系，结果表明两者之间仅有轻微到中等程度的相关性，且余震地震动的卓越周期更倾向于小于主震地震动的卓越周期。Moustafa 和 Takewaki^[21]通过比较余震地震动与主震地震动的傅里叶谱发现，余震地震动的频率含量可能与主震地震动有很大的差别，进而得出结论认为通过重复同一条地震动多次模拟主余震地震动是不合适的。温卫平^[22]采用壳内地震序列与俯冲区域板间地震序列研究了主余震地震动参数关系。

以上的研究是直接通过比较余震地震动与主震地震动的参数来研究主余震地震动参数关系的。除此之外，主余震地震动的参数关系还可以通过地震动衰减关系得到。

到目前为止，已经有大量的研究致力于建立和改进地震动的衰减关系^[23]，这些研究更多地将地震动参数表达为震级、断层距及剪切波速等震源参数和场地特征的函数，因此，在已知主余震的震源参数和场地特征时，利用地震动衰减关系即可计算得到主余震地震动参数值，进而可以获得两者之间的关系。然而，在建立地震动衰减关系过程中是否选取余震地震动，不同学者有着不同的观点。Boore 等^[24,25]、Campbell 和 Bozorgnia^[26,27]、Graizer 和 Kalkan^[28]、Chiou 和 Youngs^[29]等学者在建立地震动衰减关系时均去除了余震地震动。Douglas 和 Halldorsson^[30]讨论了余震地震动能否用于拟合地震动衰减关系，并且建议在建立地震动衰减关系时可以不考虑主震地震动与余震地震动的区别。Graizer 等^[31]在建立地震动衰减关系时则没有区分主震地震动与余震地震动的区别。而 Abrahamson 和 Silva^[32,33]、Chiou 和 Youngs^[34]等学者在建立地震动衰减关系时同样选取了余震地震动，但是在提出的地震动衰减关系中将余震作为一个参数，认为相同震级的余震产生的地震动强度要小于主震。

由此可见，在使用地震动衰减关系来分析主余震地震动参数关系时，选用 Abrahamson 和 Silva^[32,33]、Chiou 和 Youngs^[34]等学者提出的公式最为合适；其次为 Graizer 等^[31]提出的地震动衰减关系；而用 Boore 等^[24,25]提出的衰减关系计算余震地震动参数值时则可能引入较大的误差。

应当注意的是，余震的震级和位置是依赖于主震的^[15,16,35,36]，因此，在建立余震的衰减关系时最好与主震地震动联系起来，这样在进行主余震概率地震危险性分析时才更具有一致性，而使用现有的地震动衰减关系进行分析则无法满足这一要求。Das 和 Gupta^[19]虽然直接给出了余震地震动参数与主震地震动参数之间的关系，但仅仅选用了集集地震记录且没有考虑近场区域的饱和效应。

本章从全球范围内选取大量的主余震地震动记录，研究余震地震动参数与主震地震动参数的比值随震级、断层距、场地的变化特性，采用给出的条件衰减关系研究震级、距离、场地等对主余震参数关系的影响，通过与实际数据对比论证模型的合理性，并研究壳内地震序列与俯冲区域板间地震序列的异同，通过残差分析验证余震地震动参数与主震地震动参数的比值服从对数正态分布，并与其他的衰减关系进行比较分析。

1.2 地震动数据库

本章总共选用来自 19 次主余震序列的 1353 条主余震地震动，选用时遵循以下原则：①余震的矩震级要大于 5.0；②水平地震动峰值地面加速度（peak ground acceleration, PGA）的几何平均值要大于 0.03g；③所选用的台站要有相应的剪切波速资料；④地震动均记录于场地表面或者低层结构的首层。表 1-1 给出了本章所选用的主余震序列信息及其相应的地震动台站数目。

美国的帝王谷（Imperial Valley）地震序列和北岭（Northridge）地震序列、中国台湾的集集地震序列的地震动选自美国太平洋地震研究中心（Pacific Earthquake Engineering Research Center, PEER）的下一代衰减（next generation attenuation, NGA）数据库（<http://peer.berkeley.edu/nga/>）。日本的两次北海道（Hokkaido）地震序列、东本州（Eastern Honshu）地震序列和东日本大地震序列的地震动选自 K-net 和 Kik-net 数据库（<http://www.k-net.bosai.go.jp/>）。

地震震级为矩震级，距离为断层距，场地条件用地下 30m 的平均剪切波速 V_{S30} 来表示。对于美国的帝王谷地震序列和北岭地震序列、中国台湾的集集地震序列，其相应的信息均可由 NGA 数据库中获得。值得注意的是，由于帝王谷地震序列和北岭地震序列中的余震没有相应的断层信息，用震源距来近似估计断层距。

表 1-1 本章所选用的主余震序列信息及其相应的台站数目

地震序列名称	主震		余震		台站数目
	时间	矩震级	时间	矩震级	
帝王谷	1979-10-15,23:16	6.53	1979-10-15,23:19	5.01	7
北岭	1994-01-17,12:31	6.69	1994-03-20,21:20	5.28	8
			1999-09-20,17:57	5.9	46
			1999-09-20,18:03	6.2	57
集集	1999-09-20	7.62	1999-09-20,21:46	6.2	58
			1999-09-22,00:14	6.2	80
			1999-09-25,23:52	6.3	91
北海道	2003-09-25,19:50	8.3	2003-09-25,21:08	7.3	64
北海道	2004-11-28,18:32	7.0	2004-12-06,14:15	6.7	53
东本州	2008-06-13,23:43	6.9	2008-07-23,15:26	6.8	18
			2011-03-11,06:15	7.9	188
			2011-03-11,06:25	7.6	103
			2011-03-12,13:15	6.2	35
			2011-03-15,13:31	6.0	49
东日本	2011-03-11,05:46	9.0	2011-03-19,09:56	5.8	66
			2011-03-24,08:21	5.9	60
			2011-03-27,22:21	6.2	63
			2011-04-07,14:32	6.9	133
			2011-04-11,08:16	6.8	174

对于日本的地震序列，其矩震级来自哈佛大学矩心矩张量目录（Harvard Centroid Moment Tensor Catalog, HCMTC）(<http://www.globalcmt.org/>)。地震断层信息来自日本地震信息中心（Earthquake Information Center, EIC）的地震学笔记（Seismological Note）(http://www.eri.u-tokyo.ac.jp/sanchu/Seismo_Note/) 及哈佛大学矩心矩张量目录 (<http://www.globalcmt.org/>)。Kik-net 台站的 V_{S30} 可由相应的剪切波速资料计算得到，但是 K-net 台站的剪切波速的测量范围均小于地下 30m，无法直接由实际测量资料计算 V_{S30} 。许多学者提出了地下某一深度范围（小于 30m）平均剪切波速与地下 30m 平均剪切波速 V_{S30} 的经验公式^[37-40]，可以采用 Cadet 和 Duval^[39]给出的经验公式来计算 K-net 台站的 V_{S30} 。

对原始记录到的地震动数据需进行基线校正和滤波处理，才能确定地震动的应用范围^[41,42]。由 PEER NGA 数据库得到的地震动已经经过了相应的处理，而 K-net 和 Kik-net 数据库得到的日本地震序列的地震动没有经过基线校正和滤波处

理，因此，首先对其进行基线校正，然后采用四阶巴特沃斯（Butterworth）高通滤波器，截止滤波频率为 0.1 Hz。图 1-1 (a) 给出了选用记录随断层距和震级的分布，图 1-1 (b) 给出了选用记录随断层距之比 $D_{\text{as}} / D_{\text{ms}}$ (余震断层距比主震断层距) 和震级之比 $M_{\text{as}} / M_{\text{ms}}$ (余震震级比主震震级) 的分布。

选用的地震序列既包括壳内地震，如美国的帝王谷地震序列、北岭地震序列和中国台湾的集集地震序列，也包括俯冲区域地震，如日本的北海道地震序列、东本州地震序列和东日本大地震序列。Tichelaar 和 Ruff^[43]认为，对于俯冲区域的地震，大多数板间地震的震源深度小于 50 km，而大多数板内地震的震源深度大于 50 km。按照这样的标准，除了东本州地震序列的第二次余震外，本章选用的俯冲区域的地震均为板间地震。

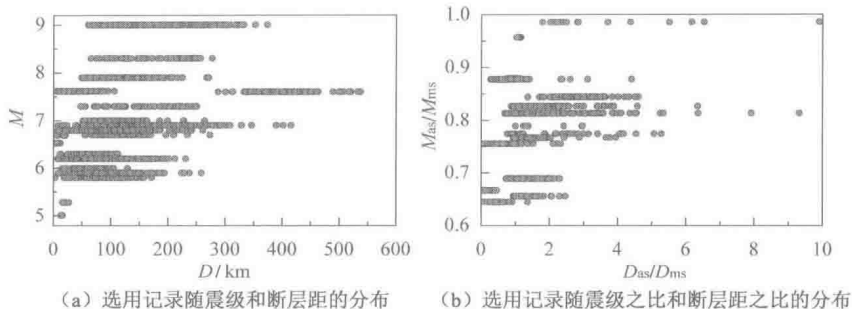


图 1-1 主震及余震记录的震级、断层距分布图

1.3 地震动参数及衰减模型

1.3.1 地震动参数

本章选取的地震动参数包括地震动强度参数 IM (intensity measure) 和地震动持时。地震动强度参数 IM 包括：峰值地面加速度 PGA、峰值地面速度 PGV (peak ground velocity)、Arias 烈度 I_A 、累积绝对速度 CAV (cumulative absolute velocity) 和结构基本周期对应的谱加速度 S_a 。地震动持时包括 90% 的重要持时 t_{D90} 和 70% 的重要持时 t_{D70} 。

Arias 烈度 I_A ^[44] 定义为

$$I_A = \frac{\cos^{-1}(\zeta)}{g\sqrt{1-\zeta^2}} \int_0^{t_f} a^2(t) dt \quad (1-1)$$

式中, ζ ——阻尼比;

g ——重力加速度;

t_f ——地震动总持时;

$a(t)$ ——地震动加速度时程。

累积绝对速度 CAV^[45]定义为

$$\text{CAV} = \int_0^{t_f} |a(t)| dt \quad (1-2)$$

采用 Arias 烈度, Trifunac 和 Brady^[46]提出了重要持时 t_D 的概念, 90%能量的重要持时 t_{D90} 可采用以下公式计算:

$$t_{D90} = t(I_{Ai} = 0.95I_A) - t(I_{Ai} = 0.05I_A) = t_{95} - t_5 \quad (1-3)$$

式中, t_{D90} ——拥有地震动 90% 能量的重要持时;

t ——某一时刻;

I_A ——整条地震动的 Arias 烈度;

I_{Ai} ——地震动在某一时刻的 Arias 烈度;

t_{95} —— I_{Ai} 达到 $0.95 I_A$ 的时刻;

t_5 —— I_{Ai} 达到 $0.05 I_A$ 的时刻。

同理, 70% 能量的重要持时 t_{D70} 可采用以下公式计算:

$$t_{D70} = t(I_{Ai} = 0.75I_A) - t(I_{Ai} = 0.05I_A) = t_{75} - t_5 \quad (1-4)$$

1.3.2 衰减模型

不同的构造环境可能会导致壳内地震和俯冲区域地震有着不同的地震动衰减特性, 因此, 许多学者在研究地震动衰减时将壳内地震和俯冲区域地震区分开^[24-34,47-52]。Si 和 Midorikawa^[52]的研究结果表明板内地震产生的地震动会明显强于壳内地震和板间地震, 而壳内地震和板间地震的地震动之间的区别很小。由于本章所选取的绝大多数俯冲区域地震均为板间地震, 先假定壳内地震的主余震地震动强度参数关系与板间地震相似, 将所有地震统一进行拟合分析, 然后通过实际数据与拟合曲线比较来验证假定的合理性。本章选用的地震动数据库中, 347 条主余震地震动来自壳内地震序列, 1006 条主余震地震动来自俯冲区域地震序列。

通过研究已有衰减关系和所选数据库的衰减规律, 本章提出以下的余震地震动参数衰减关系:

$$\ln(\nabla Y) = b_1 M_{ms} + b_2 \nabla M + b_3 \ln[\nabla D + (\nabla M / D_{ms})^{b_4}] + b_5 \ln(760 / V_{S30}) + \varepsilon \quad (1-5)$$

式中, \ln ——自然对数;

Y ——地震动强度参数 IM 或地震动持时参数 t_D , 取两个水平分量的几何平均值;

∇Y ——余震地震动参数 Y_{as} 与主震地震动参数 Y_{ms} 的比值, $\nabla Y = Y_{\text{as}} / Y_{\text{ms}}$,

∇Y 也可称为余震地震动的相对参数;

M_{ms} ——主震矩震级;

∇M ——余震矩震级 M_{as} 与主震矩震级 M_{ms} 的比值, $\nabla M = M_{\text{as}} / M_{\text{ms}}$;

∇D ——余震断层距 D_{as} 与主震断层距 D_{ms} 的比值, $\nabla D = D_{\text{as}} / D_{\text{ms}}$;

V_{S30} ——地下 30m 的平均剪切波速;

ε ——预测值与观测值之间的残差, 一般假定其服从均值为 0、标准差为 σ 的正态分布;

$b_1 \sim b_5$ ——公式的拟合系数。

在式 (1-5) 中, 等号右边第一项和第二项用来描述 ∇Y 随主震震级和余震震级的变化情况, 第三项中的 $\ln \nabla D$ 表示 ∇Y 随断层距之比的几何衰减, 采用 $\nabla M / D_{\text{ms}}$ 来模拟近场区域的饱和效应, 采用第四项来模拟场地类别对 ∇Y 的影响。式 (1-5) 与主震参数有关, 因此该模型不仅能够方便地预测余震地震动参数值, 还能够揭示主余震地震动参数之间的关系。用加权最小二乘法对式 (1-5) 进行拟合, 采用 Campbell^[53]的方法, 将 ∇D 分为 7 个区间, 在每个区间内的不同地震具有相同的权重, 不同 ∇D 范围的台站数目见表 1-2。

表 1-2 不同 ∇D 范围的台站数目

∇D 范围	0~0.29	0.3~0.59	0.6~0.89	0.9~1.19	1.2~1.99	2.0~3.49	3.5~10
台站数目	87	160	159	295	304	251	97

1.4 地震动强度参数

1.4.1 回归结果

根据 1.3 节描述的公式和方法, 得到对应于不同地震动强度参数 IM 的拟合系数及其标准差, 如表 1-3 所示。

表 1-3 对应于不同地震动强度参数的拟合系数及其标准差

强度参数	b_1	b_2	b_3	b_4	b_5	σ
PGA	-0.426	3.085	-1.038	0.530	0.085	0.569
PGV	-0.482	3.253	-1.160	0.590	0.049	0.543
I_A	-1.062	7.781	-1.391	0.632	0.062	0.687
CAV	-1.032	8.820	-1.241	0.602	0.051	0.677
$S_a(T=0.01\text{s})$	-0.422	3.118	-1.037	0.480	0.044	0.566

续表

强度参数	b_1	b_2	b_3	b_4	b_5	σ
$S_a(T=0.02s)$	-0.426	3.154	-1.039	0.510	0.041	0.573
$S_a(T=0.03s)$	-0.430	3.188	-1.058	0.520	0.046	0.591
$S_a(T=0.04s)$	-0.428	3.204	-1.033	0.480	0.044	0.600
$S_a(T=0.05s)$	-0.422	3.159	-1.024	0.500	0.036	0.596
$S_a(T=0.075s)$	-0.416	3.134	-1.033	0.520	0.064	0.623
$S_a(T=0.1s)$	-0.406	3.039	-1.054	0.530	0.086	0.637
$S_a(T=0.15s)$	-0.417	3.085	-1.100	0.560	0.103	0.675
$S_a(T=0.2s)$	-0.432	3.103	-1.112	0.580	0.133	0.683
$S_a(T=0.25s)$	-0.447	3.173	-1.136	0.590	0.143	0.668
$S_a(T=0.3s)$	-0.459	3.203	-1.154	0.610	0.148	0.682
$S_a(T=0.4s)$	-0.483	3.417	-1.207	0.620	0.110	0.711
$S_a(T=0.5s)$	-0.521	3.744	-1.254	0.620	0.085	0.724
$S_a(T=0.75s)$	-0.546	3.912	-1.276	0.630	0.059	0.724
$S_a(T=1.0s)$	-0.565	4.075	-1.324	0.650	0.053	0.717
$S_a(T=1.5s)$	-0.582	4.202	-1.336	0.620	0.039	0.724
$S_a(T=2.0s)$	-0.605	4.375	-1.424	0.540	0.013	0.750
$S_a(T=3.0s)$	-0.618	4.404	-1.370	0.520	0.001	0.750
$S_a(T=4.0s)$	-0.638	4.334	-1.450	0.580	-0.011	0.792
$S_a(T=5.0s)$	-0.665	4.484	-1.460	0.610	-0.021	0.787
$S_a(T=7.5s)$	-0.670	4.170	-1.437	0.650	-0.022	0.802
$S_a(T=10.0s)$	-0.680	4.310	-1.426	0.660	-0.045	0.835

系数 b_1 的值为负, 表明 VIM 随着主震震级 M_{ms} 的增大而减小。图 1-2 给出了 $\nabla M = 0.816$, $D_{ms} = 30\text{km}$, $V_{S30} = 560\text{m/s}$ 条件下, 不同主震震级 M_{ms} 对应的 VIM 随 ∇D 的变化趋势。由图 1-2 可以看出, 随着结构周期的增大, 系数 b_1 的值逐渐减小, 主震震级对 VIM 的影响也逐渐增大。还可以看出, 不同主震震级之间的差别随着周期的增大而逐渐增大。以 $\nabla D = 0.1$ 为例, 当 $T=0.2\text{s}$ 时, $M_{ms}=6.6$ 对应的 ∇S_a 是 $M_{ms}=8.6$ 的 2.37 倍, 而当 $T=3.0\text{s}$ 时, $M_{ms}=6.6$ 对应的 ∇S_a 是 $M_{ms}=8.6$ 的 3.44 倍。

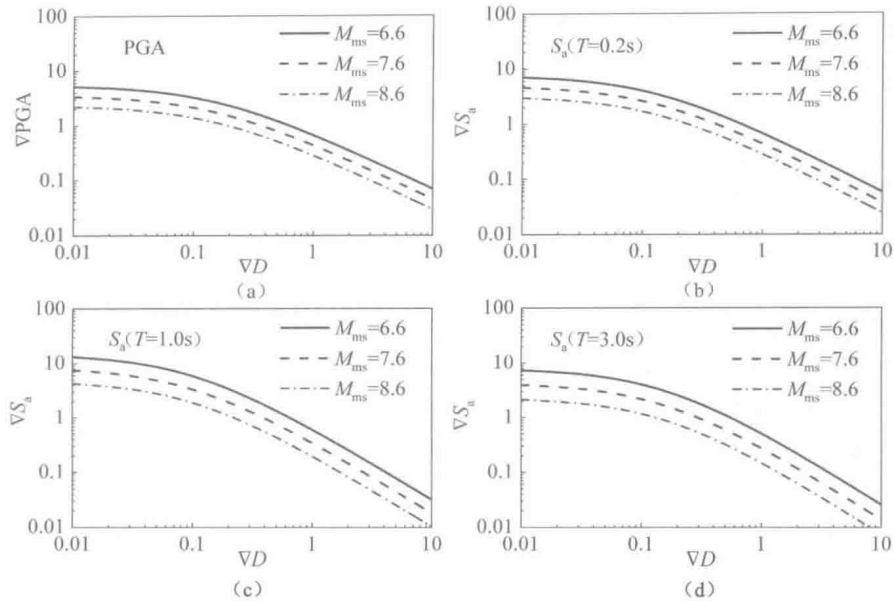


图 1-2 不同 M_{ms} 对应的 VIM 随 ∇D 的变化 ($\nabla M = 0.816$, $D_{\text{ms}} = 30\text{km}$, $V_{S30} = 560\text{m/s}$)

系数 b_2 的值为正, 表明 VIM 随着震级之比 ∇M 的增大而增大。图 1-3 给出了 $M_{\text{ms}} = 7.6$, $D_{\text{ms}} = 30\text{km}$, $V_{S30} = 560\text{m/s}$ 条件下, 不同震级之比 ∇M 对应的 VIM 随 ∇D 的变化趋势。总体上, 系数 b_2 的值随结构周期的增大而逐渐增大, 震级之比 ∇M

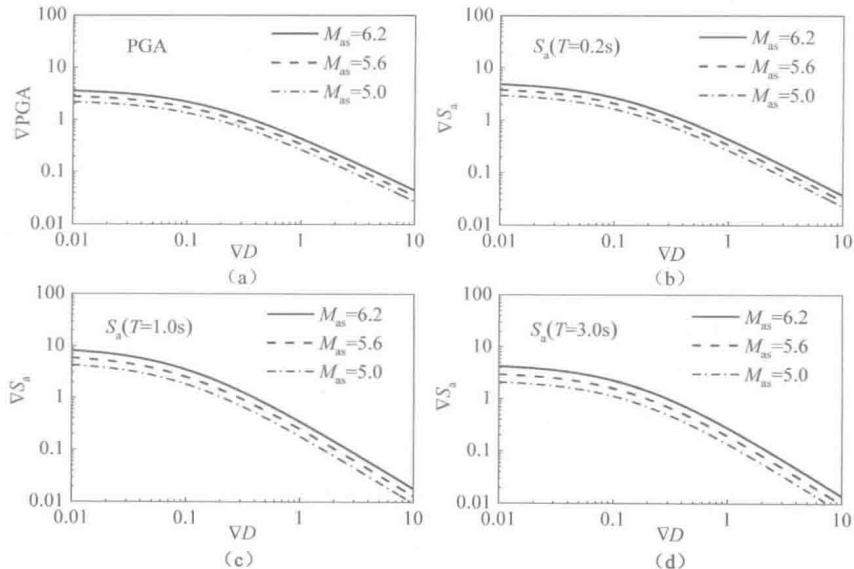


图 1-3 不同 ∇M 对应的 VIM 随 ∇D 的变化 ($M_{\text{ms}} = 7.6$, $D_{\text{ms}} = 30\text{km}$, $V_{S30} = 560\text{m/s}$)